

ВЕСТНИК ЛЕНИНГРАДСКОГО УНИВЕРСИТЕТА

ГОД ИЗДАНИЯ ДВАДЦАТЬ ТРЕТИЙ

Журнал выходит 24 раза в год, по четыре номера каждой серии.



МАТЕМАТИКА □ МЕХАНИКА □ АСТРОНОМИЯ

Выпуск 1

ЯНВАРЬ

1968



ИЗДАТЕЛЬСТВО ЛЕНИНГРАДСКОГО УНИВЕРСИТЕТА

УДК 533.6.011.8

Ю. Шлажа

АСИМПТОТИЧЕСКОЕ ПОВЕДЕНИЕ ПОТОКОВ МАССЫ, ИМПУЛЬСА И ЭНЕРГИИ НА ПОЛУБЕСКОНЕЧНОЙ ПЛАСТИНКЕ ПРИ БОЛЬШИХ M

В настоящей работе исследуется с кинетической точки зрения асимптотика частоты ударов N молекул о тело, касательного импульса p_x и энергии E , передаваемых молекулами пластинке, в зависимости от расстояния x от передней кромки пластинки при больших M .

§ 1. Функция распределения $f^{(2)}(\bar{r}_s, \bar{u})$

Рассмотрим гиперзвуковое продольное обтекание бесконечно тонкой пластинки $y=0$, $x \geq 0$ одноатомным разреженным газом, средняя безразмерная скорость которого равна $\bar{U}_0 = \{1, 0, 0\}$. В дальнейшем все величины безразмерны. Допустим, что молекулы гладкие упругие шары и их отражение от стенки диффузное, а температура пластинки не отличается от температуры невозмущенного газа. Требуется найти асимптотическое поведение функций [1]

$$N(\bar{r}_s) = - \iiint_{u_y < 0} f(\bar{r}_s, \bar{u}) u_y d\bar{u}, \quad (1,1)$$

$$p_x(\bar{r}_s) = p_x^- - p_x^+, \quad (1,2)$$

$$E(\bar{r}_s) = E^- - E^+, \quad (1,3)$$

где

$$p_x^+ = 2 \iiint_{u_y > 0} \tilde{\Phi}(\bar{r}_s, \bar{u}) u_x d\bar{u}, \quad (1,4)$$

$$E^+ = \iiint_{u_y > 0} \tilde{\Phi}(\bar{r}_s, \bar{u}) u^2 d\bar{u}, \quad (1,5)$$

$$p_x^- = -2 \iiint_{u_y < 0} f(\bar{r}_s, \bar{u}) u_x u_y d\bar{u}, \quad (1,6)$$

$$E^- = - \iiint_{u_y < 0} f(\bar{r}_s, \bar{u}) u_y u^2 d\bar{u}, \quad (1,7)$$

причем $f(\bar{r}_s, \bar{u})$ — функция распределения молекул газа по координатам и скоростям; $\tilde{\Phi}$ — граничная функция рождений; \bar{r}_s — радиус-вектор точки (x_s, y_s, z_s) на поверхности $F(\bar{r}_s) = 0$ обтекаемого тела; \bar{u} — скорость молекул.

Так как в случае диффузного отражения $\tilde{\Phi} = \frac{2h^2}{\pi} u_y e^{-hu^2} N(\bar{r}_s)$ ($h = \frac{5}{6} M^2$) [1], то из (1,4) и (1,5) получим

$$p_x^+ = 0, \quad E^+ = \frac{2}{h} N(\bar{r}_s). \quad (1,8)$$

Отсюда видно, что для определения N , p_x , E требуется найти N , p_x^- , E^- . Этим мы в дальнейшем и займемся. Введем обозначения

$$K_i = - \iiint_{\substack{u_y < 0}} f(\bar{r}_s, \bar{u}) u_y w_i d\bar{u}, \quad i = 0, 1, 2, \quad (1,9)$$

причем

$$K_0 = N(\bar{r}_s), \quad K_1 = \frac{1}{2} p_x^-(\bar{r}_s), \quad K_2 = E^-(\bar{r}_s), \quad (1,10)$$

$$w_0 = 1, \quad w_1 = u_x, \quad w_2 = u^2. \quad (1,11)$$

По методу последовательных приближений можно вычислить K_i следующим образом:

$$K_i^{(n)} = - \iiint_{\substack{u_y < 0}} f^{(n)}(\bar{r}_s, \bar{u}) u_y w_i d\bar{u}, \quad i = 0, 1, 2, \quad (1,12)$$

где n — номер приближения.

Если за нулевое приближение брать максвелловскую функцию распределения $f_0 = \left(\frac{h}{\pi}\right)^{3/2} e^{-h(\bar{u} - \bar{u}_0)^2}$, то функция распределения для падающих молекул в первом приближении тоже максвелловская [2] и по (1,12) будем иметь

$$K_i^{(0)} = K_i^{(1)}, \quad i = 0, 1, 2, \quad (1,13)$$

где

$$K_0^{(1)} = K_1^{(1)} = \frac{1}{2\sqrt{\pi h}}, \quad K_2^{(1)} = K_0^{(1)} \left(1 + \frac{2}{h}\right).$$

Отсюда видно, что в первом приближении еще ничего нельзя сказать о зависимости K_i от расстояния x от носка пластиинки. Чтобы найти эту зависимость, рассмотрим второе приближение для $f(\bar{r}_s, \bar{u})$. Из кинетических уравнений С. В. Валлантера [1] следует

$$f^{(2)}(\bar{r}_s, \bar{u}) = \int_0^\infty \Phi^{(1)}(\bar{r}_s - \tau \bar{u}, \bar{u}) \Pi^{(1)}(\bar{r}_s, \bar{u}, \tau) d\tau, \quad (1,14)$$

где τ — время свободного движения молекулы; $\Phi(\bar{r}, \bar{u})$ — внутренняя функция рождений; $\Pi(\bar{r}, \bar{u}, \tau)$ — вероятность свободного движения молекулы в точку \bar{r} со скоростью \bar{u} за время τ .

Дальше можно было бы искать $\Phi^{(1)}$ и $\Pi^{(1)}$ через коэффициенты $a_m^{(1)}$ [3], но этот путь ведет к слишком громоздким расчетам. Поэтому мы сделаем здесь одно упрощающее предположение.

Воспользуемся хорошо известным из литературы [1], [4] так называемым τ -приближением, т. е. положим

$$\Phi^{(1)}(\bar{r}, \bar{u}) = f_0^{(1)}(\bar{r}, \bar{u}) Q_0^{(1)}(\bar{r}, \bar{u}), \quad (1,15)$$

где $f_0^{(1)}$ — локальное максвелловское распределение

$$f_0^{(1)}(\bar{r}, \bar{u}) = n^{(1)}(\bar{r}) \left[\frac{h^{(1)}(\bar{r})}{\pi} \right]^{3/2} \exp \{-h^{(1)}(\bar{r}) [\bar{u} - \bar{U}^{(1)}(\bar{r})]^2\}, \quad (1,16)$$

причем $n^{(1)}$ — численная плотность; $\bar{U}^{(1)}$ — средняя скорость и $T^{(1)} = \frac{h}{h^{(1)}}$ — температура газа ($h = \frac{5}{6} M^2$), которые были получены в [2] и $Q_0^{(1)}$ — функция столкновений, которая выражается таким образом [1]:

$$Q_0^{(1)}(\bar{r}, \bar{u}) = \iint_{-\infty}^{\infty} |\bar{u} - \bar{u}_1| f_0^{(1)}(\bar{r}, \bar{u}_1) d\bar{u}_1. \quad (1,17)$$

Принимая во внимание (1,16), из (1,17) получим [1]

$$Q_0^{(1)}(\bar{r}, \bar{u}) = \frac{n^{(1)}}{\sqrt{\pi h^{(1)}}} \left\{ e^{-h^{(1)} v^2} + \frac{1}{2v} \sqrt{\frac{\pi}{h^{(1)}}} (1 + 2h^{(1)} v^2) \operatorname{erf}\left(v \sqrt{h^{(1)}}\right) \right\}, \quad (1,18)$$

где $v = |\bar{u} - \bar{U}^{(1)}|$. Оставляя в асимптотических формулах для $\bar{U}^{(1)}$ и $T^{(1)}$ из [2] только главный член асимптотики при $h \rightarrow \infty$, будем иметь:

$$\bar{U}^{(1)} = \left\{ 1 - \frac{n_s}{n^{(1)}}, 0, 0 \right\}, \quad (1,19)$$

$$h^{(1)} = \frac{h}{T^{(1)}} = \frac{3n^{(1)2}}{2(n^{(1)} - n_s) \left(\frac{3}{2h} n^{(1)} + n_s \right)}, \quad (1,20)$$

где n_s — плотность потока частиц, рожденных на стенке [2]. Отсюда видно, что $f_0^{(1)}(\bar{r}, \bar{u})$ и $Q_0^{(1)}(\bar{r}, \bar{u})$ выражаются только через $n^{(1)}$ и n_s . Принимая во внимание выражение для $\Pi(\bar{r}, \bar{u}, \tau)$ [1] и (1,15), (1,14) можно записать в виде

$$f^{(2)}(\bar{r}_s, \bar{u}) = \int_0^\infty f_0^{(1)}(\bar{r}_s - \tau \bar{u}, \bar{u}) Q_0^{(1)}(\bar{r}_s - \tau \bar{u}, \bar{u}) \times \\ \times \exp \left\{ - \int_0^\tau Q_0^{(1)}(\bar{r}_s - q \bar{u}, \bar{u}) dq \right\} d\tau, \quad (1,21)$$

где $f_0^{(1)}$ и $Q_0^{(1)}$ выражаются по (1,16) и (1,18). Подставляя (1,21) в (1,12), мы можем вычислить K_i во втором приближении.

§ 2. Выражения для $K_i^{(2)}$ ($i=0, 1, 2$)

По (1,12) имеем

$$K_i^{(2)} = - \iiint_{u_y < 0} f^{(2)}(\bar{r}_s, \bar{u}) u_y w_i d\bar{u}, \quad i=0, 1, 2, \quad (2,1)$$

где w_i и $f^{(2)}(\bar{r}_s, \bar{u})$ вычисляются по (1,11) и (1,21). После замены $u_y = -u_y$ интеграл (2,1) перепишется в виде

$$K_i^{(2)} = \iiint_{u_y > 0} f^{(2)}(\bar{r}_s, \bar{u}) w_i |_{u_y = -u_y} u_y d\bar{u}, \quad i=0, 1, 2. \quad (2,2)$$

Подынтегральная функция в (1,21) зависит от $f_0^{(1)}$ и $Q_0^{(1)}$, которые в виду (1,16), (1,18), (1,19), (1,20) выражаются через $n^{(1)}(\bar{r}_s - \tau \bar{u})$ и $n_s(\bar{r}_s - \tau \bar{u})$. Из [2] следует

$$n^{(1)}(\bar{r}_s - \tau \bar{u}) = \frac{1}{2} \left(1 + \operatorname{erf} \sqrt{h} \frac{\tau u_y}{x - \tau u_x} \right) + n_s(\bar{r}_s - \tau \bar{u}) + \\ + \frac{1}{2} \left(1 - \operatorname{erf} \sqrt{h} \frac{\frac{\tau u_y}{x - \tau u_x}}{\sqrt{1 + \left(\frac{\tau u_y}{x - \tau u_x} \right)^2}} \right) \times \\ \times \left[1 - \exp \left\{ - \frac{1}{2} \tau u_y \sqrt{1 + \left(\frac{\tau u_y}{x - \tau u_x} \right)^2} \left(1 + \operatorname{erf} \sqrt{h} \frac{\tau u_y}{x - \tau u_x} \right) \right\} \right], \quad (2,3)$$

$$n_s(\bar{r}_s - \tau \bar{u}) =$$

$$= \begin{cases} \frac{1}{2\sqrt{3}} e^{-3\left(\frac{\alpha^*}{2}\right)^{2/3}} \left\{ 1 + \operatorname{erf} \left[\frac{x - \tau u_x}{\tau u_y} \left(\frac{\alpha^*}{2} \right)^{1/3} \right] \right\} \left[1 + O\left(\alpha^*^{-\frac{2}{3}}\right) \right]; \alpha^* \rightarrow \infty, \\ \frac{1}{4} \left(1 + \frac{2}{\pi} \operatorname{arctg} \frac{x - \tau u_x}{\tau u_y} \right) + O(\alpha^* \ln \alpha^*); \alpha^* \rightarrow 0, \end{cases} \quad (2.4)$$

где

$$\alpha^* = \frac{\sqrt{h}}{2} \tau u_y \left(1 + \operatorname{erf} \sqrt{h} \frac{\tau u_y}{x - \tau u_x} \right). \quad (2.5)$$

Как видно из (2.2) и (1.21), для определения K_i надо вычислить четырехкратные интегралы. Ввиду неравномерной асимптотики $n_s(\bar{r}_s - \tau \bar{u})$ вблизи поверхности пластиинки область интегрирования в (2.2) разделяется поверхностями Стокса на подобласти, в которых поведение подынтегральной функции различно. При вычислении (2.2) надо интегрировать по τ , т. е. по лучам, по которым молекулы могут собираться в точку r_s (рис. 1).

При $x - \tau u_x < 0$, т. е. для точек, расположенных перед пластиинкой $y=0$, $x \geq 0$, мы имеем невозмущенный поток и

$$f_0^{(1)} = f_0^{(0)} = \left(\frac{h}{\pi} \right)^{3/2} e^{-hv_0^2},$$

$$Q_0^{(1)} = Q_0^{(0)} = \frac{1}{\sqrt{\pi h}} \left\{ e^{-hv_0^2} + \frac{1}{2v_0} \sqrt{\frac{\pi}{h}} (1 + 2hv_0^2) \operatorname{erf}(v_0 \sqrt{h}) \right\} \approx v_0,$$

$$\text{где } v_0 = |\bar{u} - \bar{U}_0|.$$

Но в точках, для которых $x - \tau u_x \geq 0$, $f_0^{(1)}$ и $Q_0^{(1)}$ вычисляются по (1.16) и (1.18). Таким образом, одна из поверхностей Стокса будет $\tau u_x = x$, т. е. является гиперболическим цилиндром с осью Ou_y (рис. 2).

При $x - \tau u_x \geq 0$ выражение в скобках в (2.5) имеет порядок единицы для всех u и τ из области интегрирования в (2.2). Поэтому ввиду (2.2) и (2.5) второй поверхностью Стокса является гиперболический цилиндр $\tau u_y = h^{-\frac{1}{2}}$ с осью Ou_x (рис. 2).

Поверхность $\tau u_x = 0$ делит область интегрирования в пространстве τ, u_x, u_y на две части Ω_1 и Ω_2 , в которых $x - \tau u_x < 0$ и $x - \tau u_x \geq 0$.

Поверхность Стокса $\tau u_y = h^{-\frac{1}{2}}$ делит в свою очередь Ω_2 на две подобласти, в одной из которых $\alpha^* \rightarrow 0$, а в другой $\alpha^* \rightarrow \infty$. Из рис. 1 и рис. 2 можно сделать следующие выводы относительно определения $K_i^{(2)}$:

- 1) Собирая молекулы по лучам 1, мы должны интегрировать по всем скоростям u_z и по области Ω_1 в пространстве τ, u_x, u_y .
- 2) Собирая молекулы по отрезкам лучей 2, мы должны интегрировать по всем u_z и в пространстве τ, u_x, u_y по части области Ω_2 , в которой $\alpha^* \rightarrow \infty$.
- 3) Собирая молекулы по отрезкам 3 в пограничном слое, мы будем интегрировать по всем u_z и в пространстве τ, u_x, u_y по части области Ω_2 , в которой $\alpha^* \rightarrow 0$.

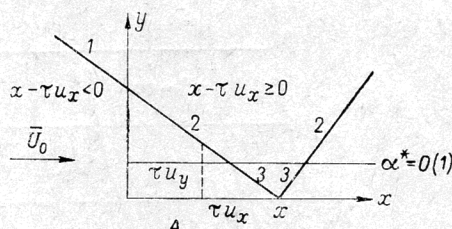


Рис. 1.

4) В окрестности поверхности Стокса $\tau u_y = h^{-\frac{1}{2}}$, т. е. при $\alpha^* = O(1)$, мы при оценке интеграла $K_i^{(2)}$ ограничимся только его порядком по h .

Таким образом, принимая во внимание поверхность Стокса $\tau u_x = x$, интегралы (2,2) можно переписать в виде

$$K_i^{(2)} = K_{i1}^{(2)} + K_{i2}^{(2)}, \quad i=0, 1, 2, \quad (2,7)$$

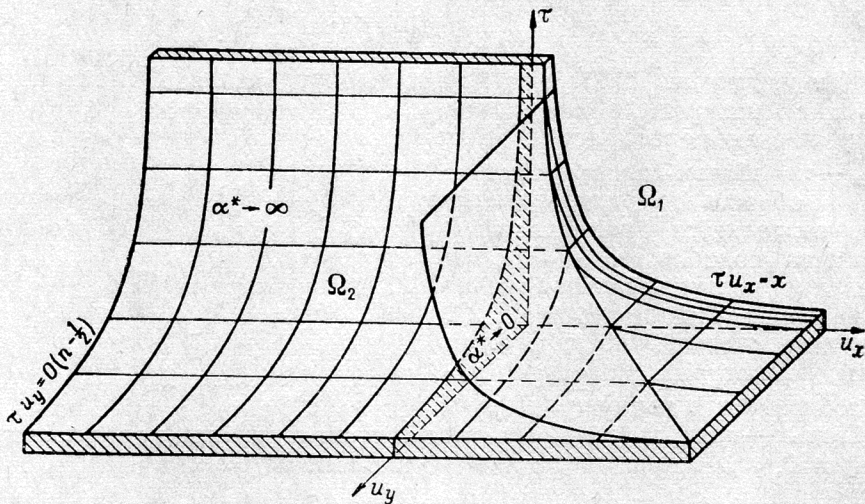


Рис. 2.

где

$$K_{i1}^{(2)} = \int_{-\infty}^{\infty} \int_{\Omega_1}^{\infty} \int_{-\infty}^{\infty} u_y F_i du_x du_y d\tau du_z, \quad (2,8)$$

$$K_{i2}^{(2)} = \int_{-\infty}^{\infty} \int_{\Omega_2}^{\infty} \int_{-\infty}^{\infty} u_y F_i du_x du_y d\tau du_z, \quad (2,9)$$

и

$$\begin{aligned} F_i &= f_0^{(1)}(\bar{r}_s - \tau \bar{u}, \bar{u}) Q_0^{(1)}(\bar{r}_s - \tau \bar{u}, \bar{u}) \times \\ &\times \exp \left\{ - \int_0^\tau Q_0^{(1)}(\bar{r}_s - q \bar{u}, \bar{u}) dq \right\} \mathbf{w}_i|_{u_y=-u_y}. \end{aligned} \quad (2,10)$$

Ввиду (2,6) и рис. 2, для $K_{i1}^{(2)}$ имеем

$$K_{i1}^{(2)} = \int_{-\infty}^{\infty} du_z \int_0^{\infty} du_x \int_0^{\infty} du_y \int_{\frac{x}{u_x}}^{\infty} d\tau u_y v_0 f_0^{(0)} e^{-v_0 \tau} w_i. \quad (2,11)$$

Интегрируя в выражении (2,11) по τ , получим

$$K_{i1}^{(2)} = \int_{-\infty}^{\infty} du_z \int_0^{\infty} du_x \int_0^{\infty} du_y \cdot u_y f_0^{(0)} w_i e^{-v_0 \frac{x}{u_x}}. \quad (2,12)$$

Оценивая в (2,12) интегралы по u_x и u_z по методу Лапласа при $h \rightarrow \infty$, получим

$$K_{i1}^{(2)} \approx \sqrt{\frac{h}{\pi}} \int_0^{\infty} \tilde{w}_i u_y e^{-hu_y^2 - xu_y} du_y, \quad i=0, 1, 2, \quad (2,13)$$

где

$$\tilde{w}_0 = \tilde{w}_1 = 1, \quad \tilde{w}_2 = 1 + \frac{1}{h} + u_y^2. \quad (2.14)$$

Интегралы вида (2.13) берутся. В результате будем иметь:

$$K_{01}^{(2)} \approx K_{11}^{(2)} \approx \frac{1}{2\sqrt{\pi h}} \{1 - \kappa\sqrt{\pi}e^{\kappa^2} [1 - \operatorname{erf} \kappa]\}, \quad (2.15)$$

$$K_{21}^{(2)} \approx \left[1 + \frac{1}{h} \left(\frac{5}{2} + \kappa^2\right)\right] K_{01}^{(2)} - \frac{1}{4\sqrt{\pi h} h}, \quad (2.16)$$

где $\kappa = \frac{x}{2\sqrt{h}}$. Далее, принимая во внимание (2.9) и рис. 2, $K_{i2}^{(2)}$ можно записать в виде

$$K_{i2}^{(2)} = K_{i2_1}^{(2)} + K_{i2_2}^{(2)} + K_{i2_3}^{(2)}, \quad (2.17)$$

где

$$K_{i2_1}^{(2)} = \int_{-\infty}^{\infty} du_z \int_0^{\infty} du_y \int_0^{\frac{h^{-\frac{1}{2}(1-\varepsilon)}}{u_y}} d\tau \int_{-\infty}^{\frac{x}{\tau}} du_x u_y F_i, \quad (2.18)$$

$$K_{i2_2}^{(2)} = \int_{-\infty}^{\infty} du_z \int_0^{\infty} du_y \int_{\frac{1}{h^{-\frac{1}{2}(1+\varepsilon)}}}^{\frac{h^{-\frac{1}{2}(1+\varepsilon)}}{u_y}} d\tau \int_{-\infty}^{\frac{x}{\tau}} du_x u_y F_i, \quad (2.19)$$

$$K_{i2_3}^{(2)} = \int_{-\infty}^{\infty} du_z \int_0^{\infty} du_y \int_{\frac{1}{h^{-\frac{1}{2}(\varepsilon+1)}}}^{\frac{x}{\tau}} d\tau \int_{-\infty}^{\frac{x}{\tau}} du_x u_y F_i. \quad (2.20)$$

Интеграл (2.19) выделяет окрестность поверхности Стокса $\tau u_y = h^{-\frac{1}{2}}$, в которой $\alpha^* = O(1)$. Вообще говоря, ε должно быть функцией от h , которая стремится к нулю при $h \rightarrow \infty$. Проделанные в [2] и [5] расчеты макропараметров газа показывают, что при возрастании h область численного интегрирования (где $\alpha^* = O(1)$) так сильно сужается, что практически асимптотическими формулами можно пользоваться вплоть до поверхности Стокса. Это подсказывает, что (2.19) не должен давать вклад в главный член асимптотики $K_{i2}^{(2)}$. Ввиду непрерывности $n^{(1)}$ и n_s [2] подынтегральная функция в (2.19) также непрерывна. Поэтому, переходя в (2.19) от интегрирования по τ к интегрированию по $y_1 = \tau u_y$ и оценивая потом интеграл по y_1 по теореме о среднем значении, получим следующую оценку:

$$K_{i2_2}^{(2)} \approx O\left(\varepsilon h^{-\frac{1}{2}}\right), \quad i=0, 1, 2. \quad (2.21)$$

Функцию $\varepsilon(h)$ можно уточнить, вычисляя $n^{(1)}$ (которая входит в (2.19) в виде интеграла) для разных значений h и определяя потом степень сужения области численного интегрирования в зависимости от h . Но мы здесь ограничимся только оценкой (2.21). Чтобы найти для $K_{i2}^{(2)}$ главный член асимптотики, надо еще оценить интегралы (2.18) и (2.20).

§ 3. Оценка интегралов $K_{i2_3}^{(2)}$

По (2,20) имеем

$$K_{i2_3}^{(2)} = \int_{-\infty}^{\infty} du_z \int_0^{\infty} du_y \int_{\frac{1}{h - \frac{1}{2}(1+\varepsilon)}}^{\infty} d\tau \int_{-\infty}^{\frac{x}{\tau}} du_x u_y F_i, \quad i=0, 1, 2. \quad (3,1)$$

Здесь интегрирование производится по области в пространстве τ , u_x , u_y , в которой $\alpha^* \rightarrow \infty$. Принимая во внимание (2, 10), (1,16), (1,18) и оставляя в (1,19), (1,20), (2,3) и (2,4) только главные члены асимптотики при $\alpha^* \rightarrow \infty$, интегралы в (3,1) можно переписать в виде

$$K_{i2_3}^{(2)} = \int_{-\infty}^{\infty} du_z \int_0^{\infty} du_y \int_{\frac{1}{h - \frac{1}{2}(1+\varepsilon)}}^{\infty} d\tau \int_{-\infty}^{\frac{x}{\tau}} du_x u_y v_0 f_0^{(0)} e^{-v_0 \tau} w_i, \quad (3,2)$$

где v_0 , $f_0^{(0)}$ и w_i величины из (2,6) и (1,11). Оценивая в (3,2) интегралы по u_z по методу Лапласа при $h \rightarrow \infty$, получим

$$K_{i2_3}^{(2)} \approx \frac{h}{\pi} \int_0^{\infty} du_y \int_{\frac{1}{h - \frac{1}{2}(1+\varepsilon)}}^{\infty} d\tau \int_{-\infty}^{\frac{x}{\tau}} du_x u_y w_i^* \sqrt{(u_x - 1)^2 + u_y^2} \times \\ \times e^{-h \left[(u_x - 1)^2 + u_y^2 \right] - \tau} \sqrt{\frac{(u_x - 1)^2 + u_y^2}{(u_x - 1)^2 + u_y^2}}, \quad (3,3)$$

где

$$w_0^* = 1, \quad w_1^* = u_x, \quad w_2^* = u_x^2 + u_y^2 + \frac{1}{2h}. \quad (3,4)$$

Интегралы по u_x можно разбить на две части, а именно

$$\int_{-\infty}^{\frac{x}{\tau}} du_x = \int_{-\infty}^0 du_x + \int_0^{\frac{x}{\tau}} du_x. \quad (3,5)$$

Как видно из (3,3), при интегрировании по u_x максимум подынтегральной функции находится в точке $u_x = 1$. Так как эта точка лежит вне области интегрирования первого интеграла в правой части (3,5), то он имеет порядок $e^{-o(h)}$ [6]. Следовательно, при вычисле-

нии $K_{i2_3}^{(2)}$ главную роль играет $\int_0^{\frac{x}{\tau}} du_x$. Это ясно и из физических соображений (см. рис. 1), т. е. интегрирование по отрезкам луча 2, для которых $u_x < 0$, не должно давать вклад в главный член асимптотики, так как по этим лучам в точку x собирается меньше частиц, чем по лучам, для которых $u_x > 0$. Принимая во внимание рис. 2, выражение для $K_{i2_3}^{(2)}$ перепишем в виде

$$K_{i2_3}^{(2)} \approx \frac{h}{\pi} \int_0^\infty du_x \int_0^{\frac{x}{u_x}} d\tau \int_{-\frac{1}{h^{-\frac{1}{2}(1+\varepsilon)}}}^\infty du_y u_y w_i^* \sqrt{(u_x - 1)^2 + u_y^2} \times \\ \times e^{-h[(u_x - 1)^2 + u_y^2] - \tau} \sqrt{(u_x - 1)^2 + u_y^2} + O(e^{-h}). \quad (3,6)$$

Оценивая здесь интеграл по u_x в окрестности точки $u_x = 1$ по методу Лапласа при $h \rightarrow \infty$ и переходя от переменной интегрирования u_y к $z = h^{1/2}(1+\varepsilon)^{-1}\tau u_y$, получим

$$K_{i2_3}^{(2)} \approx \frac{h^{-1}}{\sqrt{\pi}} (1+\varepsilon)^3 \int_1^\infty \tilde{w}_i z^2 e^{-h^{-\frac{1}{2}}(1+\varepsilon)z - (1+\varepsilon)^2 \frac{z^3}{\tau^2}} \frac{dz}{d\tau} dz, \quad i=0, 1, 2, \quad (3,7)$$

где \tilde{w}_i — величины из (2,14). После замены переменных $\frac{1}{\tau} = t$ эти двойные интегралы вычисляются, и в результате будем иметь:

$$K_{02_3}^{(2)} \approx \frac{\varkappa}{2\sqrt{h}} e^{x^2} \left\{ 1 - \operatorname{erf} \left[\frac{1}{x} + \varkappa \right] \right\} \approx K_{12_3}^{(2)}, \quad (3,8)$$

$$K_{22_3}^{(2)} \approx \left(1 + \frac{5}{2h} \right) K_{02_3}^{(2)} + \frac{1}{4\sqrt{\pi}h^2} e^{-\frac{1}{x^2} - 2\frac{\varkappa}{x}}, \quad (3,9)$$

где $\varkappa = \frac{x}{2\sqrt{h}}$. Чтобы получить окончательные асимптотические формулы для $K_i^{(2)}$, осталось еще исследовать интегралы $K_{i2_1}^{(2)}$.

§ 4. Асимптотика интегралов $K_{i2_1}^{(2)}$

По (2,18) имеем

$$K_{i2_1}^{(2)} = \int_{-\infty}^{\infty} du_z \int_0^{\frac{u_y}{u_x}} du_y \int_0^{\frac{x}{u_y}} d\tau \int_{-\infty}^{\frac{x}{\tau}} du_x u_y F_i, \quad i=0, 1, 2, \quad (4,1)$$

где в силу (2,10) и (1,11)

$$F_i = \Phi^{(1)}(\bar{r}_s - \tau \bar{u}, \bar{u}) \exp \left\{ - \int_0^\tau Q_0^{(1)}(\bar{r}_s - q \bar{u}, \bar{u}) dq \right\} w_i|_{u_y=-u_y}, \quad (4,2)$$

$$w_0 = 1, \quad w_1 = u_x, \quad w_2 = u^2. \quad (4,3)$$

В (4,1) интегрирование производится по всем u_z и в пространстве τ, u_x, u_y по части области Ω_2 , в которой $z \rightarrow 0$. Переходя в (4,1) от интегрирования по τ к интегрированию по $y_1 = \tau u_y$ и оценивая потом интеграл по y_1 по теореме о среднем значении, получим

$$K_{i2_1}^{(2)} \approx h^{-\frac{1}{2}} \int_{-\infty}^{\infty} du_z \int_0^{\infty} du_y \int_{-\infty}^{\frac{y_0}{u_y}} du_x \Phi^{(1)} \left(\bar{r}_s - \frac{y_0}{u_y} \bar{u}, \bar{u} \right) \times \\ \times e^{- \int_0^{\frac{y_0}{u_y}} Q_0^{(1)}(\bar{r}_s - q \bar{u}, \bar{u}) dq} w_i + o \left(\varepsilon h^{-\frac{1}{2}} \right), \quad (4,4)$$

где $\lambda = \frac{x}{y_0}$ и $0 < y_0 < h^{-\frac{1}{2}}$. Выражение (4,4) можно переписать в виде

$$K_{I2_1}^{(2)} \approx h^{-\frac{1}{2}} \int_{-\infty}^{\infty} du_z \left\{ \int_0^{y_0} + \int_{y_0}^{\infty} \right\} du_y \int_{-\infty}^{\lambda u_y} du_x w_i \Phi^{(1)} e^{-\int_0^{u_y} Q^{(1)} dq} + o\left(\varepsilon h^{-\frac{1}{2}}\right), \quad (4,5)$$

где $\tilde{y}_0 = o(y_0^\alpha)$ и $0 < \alpha < 1$.

Оценивая $\int_0^{\tilde{y}_0} du_y$ по теореме о среднем значении, получим в (4,5) слагаемое $o\left(\tilde{y}_0 h^{-\frac{1}{2}}\right)$. Оставшийся интеграл имеет порядок $h^{-\frac{1}{2}}$. Поэтому окрестность малых u_y не дает вклад в главный член асимптотики $K_{I2_1}^{(2)}$. Следовательно, так как при $u_y \geq \tilde{y}_0$ верхний предел интеграла по q стремится к нулю при $h \rightarrow \infty$, выражение (4,5) можно записать в виде

$$K_{I2_1}^{(2)} \approx h^{-\frac{1}{2}} \int_{-\infty}^{\infty} du_z \int_0^{\infty} du_y \int_{-\infty}^{\lambda u_y} du_x \Phi^{(1)} \left(r_s - \frac{y_0}{u_y} \bar{u}, \bar{u} \right) w_i + o\left(\tilde{y}_0 h^{-\frac{1}{2}}\right). \quad (4,6)$$

Это значит, что дальнейшие исследования проводим в рамках теории однократных столкновений, так как в нашем случае вероятность свободного пробега равна единице. Как уже было отмечено в § 2, $\Phi^{(1)}$ выражается через $n^{(1)}$ и n_s . Эти величины после оценки в (4,1) интеграла по τ и ввиду (2,3) и (2,4) примут вид:

$$n^{(1)} \approx \frac{1}{2} \left(1 + \operatorname{erf} \frac{\sqrt{h}}{\beta^*} \right) + n_s + \\ + \frac{1}{2} \left(1 - \operatorname{erf} \frac{\sqrt{h}}{\sqrt{1 + \beta^{*2}}} \right) \left[1 - \exp \left\{ \frac{1}{2} y_0 \sqrt{1 + \frac{1}{\beta^{*2}}} \times \left(1 + \operatorname{erf} \frac{\sqrt{h}}{\beta^*} \right) \right\} \right], \quad (4,7)$$

$$n_s \approx \frac{1}{4} \left(1 + \frac{2}{\pi} \operatorname{arctg} \beta^* \right), \quad (4,8)$$

где

$$\beta^* = \frac{x - \frac{y_0}{u_y} u_x}{y_0}. \quad (4,9)$$

Здесь β^* — котангенс угла между пластинкой и прямой, проходящей через переднюю кромку пластиинки и точки в пограничном слое, расположенные на расстоянии y_0 от пластиинки. Для существенного упрощения дальнейших вычислений выпишем для $n^{(1)}$ и n_s только главные члены асимптотики при $\beta^* \rightarrow 0$ и $\beta^* \rightarrow \infty$. Из (4,7) и (4,8) следует:

$$n_s \approx \begin{cases} \frac{1}{4}, & \beta^* \rightarrow 0, \\ \frac{1}{2}, & \beta^* \rightarrow \infty, \end{cases} \quad (4,10)$$

$$n^{(1)} \approx \begin{cases} n_2^{(1)} = \frac{5}{4}, & \beta^* \rightarrow 0, \\ n_1^{(1)} = 1, & \beta^* \rightarrow \infty. \end{cases} \quad (4,11)$$

Принимая во внимание (1,19), (1,20), (4,10) и (4,11), мы можем выписать главные члены асимптотики $\bar{U}^{(1)}$ и $h^{(1)}$, а именно

$$\bar{U}^{(1)} \approx \begin{cases} \bar{U}_2^{(1)} = \left\{ \frac{4}{5}, 0, 0 \right\}, \beta^* \rightarrow 0, \\ \bar{U}_1^{(1)} = \left\{ \frac{1}{2}, 0, 0 \right\}, \beta^* \rightarrow \infty, \end{cases} \quad (4,12)$$

$$h^{(1)} \approx \begin{cases} h_1^{(1)} = 6, \beta^* \rightarrow \infty, \\ h_2^{(2)} = \frac{75}{8}, \beta^* \rightarrow 0. \end{cases} \quad (4,13)$$

Поведение подынтегральной функции в (4,6) различно при $\beta^* \rightarrow 0$ и $\beta^* \rightarrow \infty$. Этот факт приводит к разбиению области интегрирования в (4,6) на две подобласти. Из (4,9) следует, что $\beta^* = o(1)$, когда $x - \frac{y_0}{u_y} u_x = o(y_0)$. Отсюда вытекает, что поверхностью Стокса в пространстве u является плоскость $u_x = (\lambda - 1) \times u_y$ (рис. 3). Принимая во внимание поверхность Стокса, перепишем (4,6) в виде

$$K_{i2}^{(2)} = \Omega_i^* + \widetilde{\Omega}_i, \quad i = 0, 1, 2, \quad (4,14)$$

где

$$\Omega_i^* \approx h^{-\frac{1}{2}} \int_{-\infty}^{\infty} du_z \int_0^{\infty} du_y \int_{-\infty}^{(\lambda-1)u_y} du_x w_i \Phi_i^{(1)}(v_1), \quad (4,15)$$

$$\widetilde{\Omega}_i \approx h^{-\frac{1}{2}} \int_{-\infty}^{\infty} du_z \int_0^{\infty} du_y \int_{(\lambda-1)u_y}^{\lambda u_y} du_x w_i \Phi_i^{(1)}(v_2), \quad (4,16)$$

причем

$$v_1 = |\bar{u} - \bar{U}_1^{(1)}|, \quad v_2 = |\bar{u} - \bar{U}_2^{(1)}|. \quad (4,17)$$

Индекс „1“ в (4,15) означает, что в выражении для $\Phi_i^{(1)}$ стоят значения $n^{(1)}$, $\bar{U}^{(1)}$, $h^{(1)}$ при $\beta^* \rightarrow \infty$ и индекс „2“ в (4,16) означает, что $\Phi_i^{(1)}$ выражается через эти функции при $\beta^* \rightarrow 0$. Надо еще отметить, что в (4,15) и (4,16) подынтегральные функции определяются при $\beta^* \rightarrow \infty$ и $\beta^* \rightarrow 0$ вплоть до поверхности Стокса. Делаем мы такое допущение только с целью упрощения дальнейших исследований. После замены переменных $u_x - \frac{1}{2} = t$ в (4,15), $u_x - \frac{4}{5} = t$ в (4,16) и $t = -t$ получим:

$$\Omega_i^* \approx h^{-\frac{1}{2}} \int_{-\infty}^{\infty} du_z \int_0^{\infty} du_y \int_{-\frac{1}{2} - (\lambda-1)u_y}^{\infty} dt w_i \Phi_i^{(1)}(v), \quad (4,18)$$

$$\widetilde{\Omega}_i \approx h^{-\frac{1}{2}} \int_{-\infty}^{\infty} du_z \int_0^{\infty} du_y \int_{-\frac{4}{5} - \lambda u_y}^{\frac{4}{5} - (\lambda-1)u_y} dt \widetilde{w}_i \Phi_i^{(1)}(v), \quad (4,19)$$

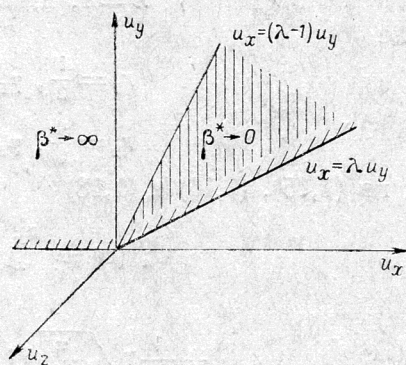


Рис. 3.

где

$$v^2 = t^2 + u_y^2 + u_z^2, \quad (4.20)$$

$$w_0^* = 1, \quad w_1^* = \frac{1}{2} - t, \quad w_2^* = v^2 - t + \frac{1}{4}, \quad (4.21)$$

$$\tilde{w}_0 = 1, \quad \tilde{w}_1 = \frac{4}{5} - t, \quad \tilde{w}_2 = v^2 - \frac{8}{5}t + \frac{16}{25}. \quad (4.22)$$

Введем обозначения

$$R_{nk}^{(i)} = h^{-\frac{1}{2}} \int_{-\infty}^{\infty} du_z \int_0^{\infty} du_y \int_{r_n - \mu_k u_y}^{\infty} dt w_i^{(n)} \Phi_n^{(1)}(v), \quad (4.23)$$

$n = 1, 2; \quad k = 1, 2; \quad i = 0, 1, 2,$

где

$$\begin{aligned} r_1 &= \frac{1}{2}, \quad \mu_1 = \lambda, \quad w_i^{(1)} = w_i^*, \\ r_2 &= \frac{4}{5}, \quad \mu_2 = \lambda - 1, \quad w_i^{(2)} = \tilde{w}_i \end{aligned} \quad (4.24)$$

и по (1.15), (1.16) и (1.18)

$$\begin{aligned} \Phi_n^{(1)}(v) &= \frac{n_n^{(1)2}}{\pi^2} h_n^{(1)} e^{-h_n^{(1)} v^2} \left\{ e^{-h_n^{(1)} v^2} + \right. \\ &\quad \left. + \frac{1}{2v} \sqrt{\frac{\pi}{h_n^{(1)}}} (1 + 2h_n^{(1)} v^2) \operatorname{erf} \left(v \sqrt{h_n^{(1)}} \right) \right\}. \end{aligned} \quad (4.25)$$

Принимая во внимание (4.23), перепишем (4.18) и (4.19) в виде:

$$\Omega_i^* \approx R_{12}^{(i)}, \quad (4.26)$$

$$\tilde{\Omega}_i \approx R_{21}^{(i)} - R_{22}^{(i)}. \quad (4.27)$$

Как следует из (4.23), $R_{nk}^{(i)} = o(h^{-\frac{1}{2}})$ и эти функции могут быть записаны следующим образом:

$$R_{nk}^{(i)} = h^{-\frac{1}{2}} \Psi_{nk}^{(i)}(\lambda), \quad \lambda \geq 0, \quad (4.28)$$

где

$$\begin{aligned} \Psi_{nk}^{(i)}(\lambda) &= \int_{-\infty}^{\infty} du_z \int_0^{\infty} du_y \int_{r_n - \mu_k u_y}^{\infty} dt w_i^{(n)} \Phi_n^{(1)}(v), \\ n &= 1, 2; \quad k = 1, 2; \quad i = 0, 1, 2. \end{aligned} \quad (4.29)$$

Принимая во внимание (4.26)–(4.28), по (4.14) получим

$$K_{12}^{(2)} \approx h^{-\frac{1}{2}} \{ \Psi_{12}^{(i)} + \Psi_{21}^{(i)} - \Psi_{22}^{(i)} \}, \quad i = 0, 1, 2. \quad (4.30)$$

Отсюда видно, что $K_{12}^{(2)} = O(h^{-\frac{1}{2}})$ и для окончательного результата требуется еще определить функции $\Psi_{nk}^{(i)}$. Эти исследования проводим в следующих параграфах, где исходим из выражения (4.29), причем надо вычислить тройные интегралы, которые уже нельзя оценить асимптотически.

§ 5. Определение функций $\Psi_{nk}^{(i)}(\lambda)$

Так как $\lambda \geq 0$, при вычислении $\Psi_{nk}^{(i)}(\lambda)$ по (4,29) надо различать два случая, а именно случаи $\mu_k \geq 0$ и $\mu_k \leq 0$. Это различие влияет на вид области интегрирования (рис. 4, 5). Произведем поворот осей на угол ψ , т. е. сделаем в (4,29) замену переменных интегрирования t, u_z на ξ, η по формулам:

$$t = \xi \cos \psi + \eta \sin \psi, \quad u_z = \eta \cos \psi - \xi \sin \psi. \quad (5,1)$$

Тогда имеем (рис. 4, 5)

$$\Psi_{nk}^{(i)}(\lambda) = \int_{-\infty}^{\infty} du_z \int_{r_{nk}}^{\infty} d\eta \int_{-\infty}^{\mu_k \eta} d\xi \bar{w}_{ik}^{(n)} \Phi_n^{(1)}(\tilde{v}), \quad (5,2)$$

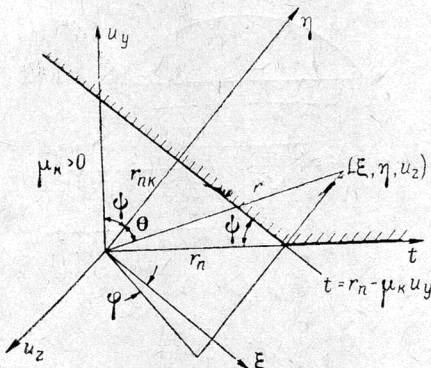


Рис. 4.

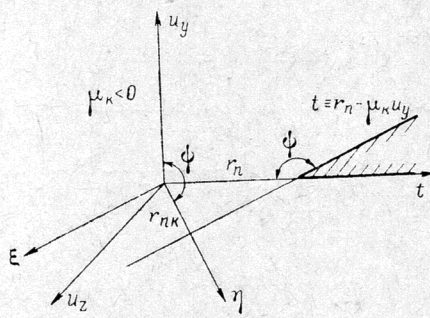


Рис. 5.

где

$$\operatorname{tg} \psi = \frac{1}{\mu_k}, \quad r_{nk} = \frac{r_n}{\sqrt{1 + \mu_k^2}}, \quad (5,3)$$

$$\tilde{v}^2 = \xi^2 + \eta^2 + u_z^2, \quad (5,4)$$

$$\bar{w}_{0k}^{(n)} = 1; \quad \bar{w}_{1k}^{(n)} = r_n - g(\psi, \xi, \eta); \quad \bar{w}_{2k}^{(n)} = \tilde{v}^2 - 2r_n g(\psi, \xi, \eta) + r_n^2, \quad (5,5)$$

$$g(\psi, \xi, \eta) = \xi \cos \psi + \eta \sin \psi. \quad (5,6)$$

Переходя в (5,2) к сферическим координатам (рис. 4)

$$\xi = r \sin \theta \cos \varphi, \quad \eta = r \cos \theta, \quad u_z = r \sin \theta \sin \varphi, \quad \tilde{v} = r, \quad (5,7)$$

получим (рис. 6, 7)

$$\Psi_{nk}^{(i)} = \begin{cases} \Psi_{nk}^{(i)*}, & \mu_k \leq 0, i=0, 1, 2, \\ & n=1, 2, \\ \bar{\Psi}_{nk}^{(i)}, & \mu_k \geq 0, k=1, 2, \end{cases} \quad (5,8)$$

где

$$\Psi_{nk}^{(i)*} = \int_{r_n}^{\infty} dr \int_{\theta_2}^{\theta_1} d\theta \int_{\varphi_1}^{2\pi - \varphi_1} d\varphi r^2 \sin \theta \bar{w}_{ik}^{(n)} \Phi_n^{(1)}(r), \quad (5,9)$$

$$\bar{\Psi}_{nk}^{(i)} = \left\{ \int_{r_{nk}}^{r_n} dr \int_0^{\theta_1} d\theta \int_0^{2\pi} d\varphi + \int_{r_n}^{\infty} dr \left[\int_0^{\theta_2} d\theta \int_0^{2\pi} d\varphi + \int_{\theta_2}^{\theta_1} d\theta \int_{\varphi_1}^{2\pi - \varphi_1} d\varphi \right] \right\} \times \\ \times r^2 \sin \theta \bar{w}_{ik}^{(n)} \Phi_n^{(1)}(r), \quad (5,10)$$

причем

$$\tilde{w}_{0k}^{(n)} = 1, \quad \tilde{w}_{1k}^{(n)} = r_n - rg_1(\psi, \theta, \varphi); \quad \tilde{w}_{2k}^{(n)} = r^2 - 2r_n r g_1(\psi, \theta, \varphi) + r_n^2, \quad (5.11)$$

$$g_1(\psi, \theta, \varphi) = \cos \psi \sin \theta \cos \varphi + \sin \psi \cos \theta, \quad (5.12)$$

$$\cos \theta_1 = \frac{r_{nk}}{r}, \quad \cos \theta_2 = \frac{r_{nk}}{r_n} = \frac{1}{\sqrt{1 + \mu_k^2}}, \quad \cos \varphi_1 = \mu_k \operatorname{ctg} \theta. \quad (5.13)$$

Если ввести функции

$$H_{nki}^{(i)} = \int \int \int r^2 \sin \theta \chi_{ik} \Phi_n^{(1)}(r) dr d\theta d\varphi, \quad (5.14)$$

$$n=1, 2, k=1, 2, i=0, 1, 2, j=1, 2, 3,$$

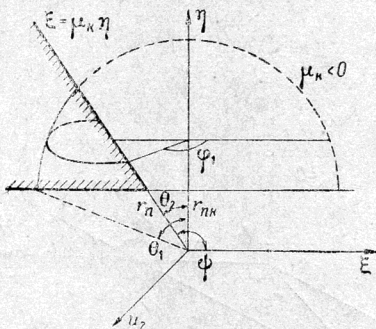


Рис. 6.

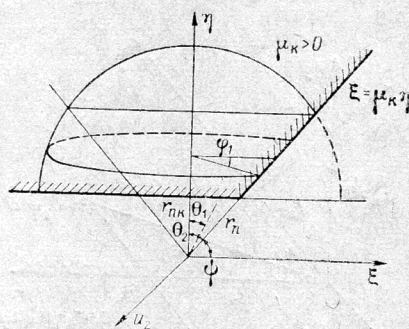


Рис. 7.

где

$$\chi_{0k} = 1, \quad \chi_{1k} = rg_1(\mu_k, \theta, \varphi), \quad \chi_{2k} = r^2, \quad (5.15)$$

$$\omega_1 = \begin{cases} r_{nk} \leq r \leq r_n \\ 0 \leq \theta \leq \theta_1 \\ 0 \leq \varphi \leq 2\pi \end{cases}, \quad \omega_2 = \begin{cases} r_n \leq r \leq \infty \\ 0 \leq \theta \leq \theta_2 \\ 0 \leq \varphi \leq 2\pi \end{cases}, \quad \omega_3 = \begin{cases} r_n \leq r \leq \infty \\ \theta_2 \leq \theta \leq \theta_1 \\ \varphi_1 \leq \varphi \leq 2\pi - \varphi_1 \end{cases}, \quad (5.16)$$

то (5.8) можно переписать в виде:

$$\Psi_{nk}^{(0)} = \begin{cases} H_{nk0}^{(3)}, & \mu_k \leq 0, \\ \sum_{j=1}^3 H_{nk0}^{(j)}, & \mu_k \geq 0, \end{cases} \quad (5.17)$$

$$\Psi_{nk}^{(1)} = \begin{cases} r_n H_{nk0}^{(3)} - H_{nk1}^{(3)}, & \mu_k \leq 0, \\ \sum_{j=1}^3 (r_n H_{nk0}^{(j)} - H_{nk1}^{(j)}), & \mu_k \geq 0, \end{cases} \quad (5.18)$$

$$\Psi_{nk}^{(2)} = \begin{cases} r_n^2 H_{nk0}^{(3)} - 2r_n H_{nk1}^{(3)} + H_{nk2}^{(3)}, & \mu_k \leq 0, \\ \sum_{j=1}^3 (r_n^2 H_{nk0}^{(j)} - 2r_n H_{nk1}^{(j)} + H_{nk2}^{(j)}), & \mu_k \geq 0. \end{cases} \quad (5.19)$$

§ 6. Асимптотические выражения для $N^{(2)}$, $p_x^{(2)}$, $E^{(2)}$

Ввиду (4.30) $K_{i2_i}^{(2)}$ можно записать следующим образом:

$$K_{i2_i}^{(2)} = h^{-\frac{1}{2}} w_i(\lambda), \quad i=0, 1, 2, \quad (6.1)$$

где

$$w_i(\lambda) = \Psi_{12}^{(i)} + \Psi_{21}^{(i)} - \Psi_{22}^{(i)}. \quad (6.2)$$

Принимая во внимание (5.17)–(5.19) и тот факт, что $\mu_1 \geq 0$, $\mu_2 \leq 0$ при $0 \leq \lambda \leq 1$ и $\mu_k \geq 0$ ($k = 1, 2$) при $\lambda \geq 1$, из (6.2) получим:

$$w_0(\lambda) = V_0(\lambda), \quad (6.3)$$

$$w_1(\lambda) = r_1 V_{01}(\lambda) + r_2 V_{02}(\lambda) - V_1(\lambda), \quad (6.4)$$

$$w_2(\lambda) = r_1^2 V_{01}(\lambda) + r_2^2 V_{02}(\lambda) - 2r_1 V_{11}(\lambda) - 2r_2 V_{12}(\lambda) + V_2(\lambda), \quad (6.5)$$

где

$$V_i(\lambda) = V_{ii}(\lambda) + V_{i2}(\lambda), \quad i = 0, 1, 2, \quad (6.6)$$

$$V_{ii}(\lambda) = \begin{cases} H_{12i}^{(3)}, & 0 \leq \lambda \leq 1, \\ \sum_{j=1}^3 H_{12i}^{(j)}, & \lambda \geq 1, \end{cases} \quad (6.7)$$

$$V_{i2}(\lambda) = \begin{cases} \sum_{j=1}^3 H_{21i}^{(j)} - H_{22i}^{(3)}, & 0 \leq \lambda \leq 1, \\ \sum_{j=1}^3 (H_{21i}^{(j)} - H_{22i}^{(j)}), & \lambda \geq 1, \end{cases} \quad (6.8)$$

Так как по (2.21), (3.8) и (3.9) $K_{i2}^{(2)} = O\left(\varepsilon h^{-\frac{1}{2}}\right)$ и $K_{i2}^{(2)} = O(h^{-1})$, главный член асимптотики для $K_{i2}^{(2)}$ (2.17) получаем при оценке интеграла $K_{i2}^{(2)}$, а именно по (6.1) имеем $K_{i2}^{(2)} = O(h^{-\frac{1}{2}})$. Вклад в главный член асимптотики $K_i^{(2)}$ (2.7) дает и интеграл $K_{ii}^{(2)}$, так как по (2.15) и (2.16) $K_{ii}^{(2)} = O(h^{-\frac{1}{2}})$. Отсюда следует, что главный член асимптотики функций $N^{(2)}$, $p_x^{(2)}$ и $E^{(2)}$ получим именно тогда, когда в (2.1) интегрируем по лучам 1 (влияние невозмущенного потока) и по всем отрезкам 3 в пограничном слое (см. рис. 1), что ясно из физических соображений.

Принимая во внимание (1.1)–(1.3), (1.8), (1.10), (2.7), (2.15)–(2.17), (2.21), (3.8), (3.9), (6.1)–(6.8), получим следующие асимптотические формулы для $N^{(2)}$, $p_x^{(2)}$, $E^{(2)}$:

$$N^{(2)} \approx \frac{1}{2\sqrt{\pi h}} \left\{ 1 + F_0(\lambda) + O\left(y_0 h^{-\frac{1}{2}}\right) \right\}, \quad (6.9)$$

$$\frac{1}{2} p_x^{(2)} \approx \frac{1}{2\sqrt{\pi h}} \left\{ 1 + \frac{1}{2} F_{01}(\lambda) + \frac{4}{5} F_{02}(\lambda) - F_1(\lambda) + O\left(y_0 h^{-\frac{1}{2}}\right) \right\}, \quad (6.10)$$

$$E^{(2)} \approx \frac{1}{2\sqrt{\pi h}} \left\{ 1 + \frac{1}{4} F_{01} + \frac{16}{25} F_{02} - F_{11} - \frac{8}{5} F_{12} + F_2 + O\left(y_0 h^{-\frac{1}{2}}\right) \right\}, \quad (6.11)$$

где

$$F_i(\lambda) = 2\sqrt{\pi} V_i(\lambda), \quad i = 0, 1, 2. \quad (6.12)$$

Из (6.6)–(6.12) видно, что асимптотическое поведение $N^{(2)}$, $p_x^{(2)}$ и $E^{(2)}$ неравномерно в окрестности точки $x=0$. Для полного определения $N^{(2)}$, $p_x^{(2)}$ и $E^{(2)}$ надо еще вычислить интегралы $H_{nki}^{(j)}$ по (5.14).

§ 7. Вычисление интегралов $H_{nki}^{(j)}$

В настоящем параграфе не остановимся подробно на вычислении интегралов $H_{nki}^{(j)}$, а приведем только полученные результаты. По (5,14) имеем

$$H_{nki}^{(j)} = \iiint_{\omega_j} r^2 \sin \theta \chi_{ik} \Phi_n^{(1)}(\vec{r}) dr d\theta d\varphi, \quad (7,1)$$

$$n=1, 2,; k=1, 2; i=0, 1, 2; j=1, 2, 3,$$

где $\Phi_n^{(1)}(r)$, χ_{ik} и ω_j определяются по (4,25), (5,15) и (5,16). Как видно из (6,6)–(6,12), для нахождения $N^{(2)}$, $p_x^{(2)}$, $E^{(2)}$ нам надо знать $H_{nki}^{(2)}$ и $\sum_{j=1}^3 H_{nki}^{(j)}$, кроме случая $n=1$, $k=1$. Вычисляя в (7,1) интегралы по θ и φ , получим:

$$H_{nk0}^{(3)} = 2\pi r_{nk} \left(\frac{1}{r_n} B_n^{(2)} - B_n^{(1)} \right) + 2r_{nk} D_{nk}^{(1)}(\lambda) - G_{nk}^{(2)}(\lambda), \quad (7,2)$$

$$\sum_{j=1}^3 H_{nk0}^{(j)} = 2\pi [C_{nk}^{(2)}(\lambda) - r_{nk} C_{nk}^{(1)}(\lambda)] + 2r_{nk} D_{nk}^{(1)}(\lambda) - G_{nk}^{(2)}(\lambda), \quad (7,3)$$

$$H_{nk1}^{(3)} = \frac{1}{\sqrt{1+\mu_k^2}} \{ D_{nk}^{(3)}(\lambda) - r_{nk}^2 D_{nk}^{(1)}(\lambda) + \mu_k r_{nk} E_n \}, \quad (7,4)$$

$$\begin{aligned} \sum_{j=1}^3 H_{nk1}^{(j)} &= \frac{1}{\sqrt{1+\mu_k^2}} \left\{ \pi \left[C_{nk}^{(3)}(\lambda) - r_{nk}^2 \left(C_{nk}^{(1)}(\lambda) - B_n^{(1)} + \frac{1}{r_n^2} B_n^{(3)} \right) \right] + \right. \\ &\quad \left. + D_{nk}^{(3)}(\lambda) - r_{nk}^2 D_{nk}^{(1)}(\lambda) + \mu_k r_{nk} E_n \right\}, \end{aligned} \quad (7,5)$$

$$H_{nk2}^{(3)} = 2\pi r_{nk} \left(\frac{1}{r_n} B_n^{(4)} - B_n^{(3)} \right) + 2r_{nk} D_{nk}^{(3)}(\lambda) - C_{nk}^{(4)}(\lambda), \quad (7,6)$$

$$\sum_{j=1}^3 H_{nk2}^{(j)} = 2\pi [C_{nk}^{(4)}(\lambda) - r_{nk} C_{nk}^{(3)}(\lambda)] + 2r_{nk} D_{nk}^{(3)}(\lambda) - G_{nk}^{(4)}(\lambda), \quad (7,7)$$

где r_n , μ_k и r_{nk} — величины из (4,24) и (5,3) и

$$D_{nk}^{(m)}(\lambda) = \int_{r_n}^{\infty} r^m \Phi_n^{(1)}(r) \arccos(A_{nk}) dr, \quad m=0, 1, 2, \dots, \quad (7,8)$$

$$G_{nk}^{(m)}(\lambda) = \int_{r_n}^{\infty} r^m \Phi_n^{(1)}(r) \arccos \left(\frac{\mu_k^2 + 2A_{nk}^2 - 1}{1 + \mu_k^2} \right) dr, \quad m=0, 1, 2, \dots, \quad (7,9)$$

$$E_n = \int_{r_n}^{\infty} r \sqrt{r^2 - r_n^2} \Phi_n^{(1)}(r) dr, \quad (7,10)$$

причем $\Phi_n^{(1)}(r)$ определяется по (4,25) и

$$A_{nk} = \mu_k \frac{r_{nk}}{\sqrt{r^2 - r_{nk}^2}}.$$

Далее,

$$B_n^{(m)} = \frac{n_n^{(1)^2}}{\pi^2} h_n^{(1)} \left\{ L_n^{(m)} + \frac{1}{2} \sqrt{\frac{\pi}{h_n^{(1)}}} J_n^{(m-1)} + \sqrt{\pi h_n^{(1)}} J_n^{(m+1)} \right\}, \quad m=0, 1, 2, \dots \quad (7,11)$$

$$C_{nk}^{(m)} = \frac{n_n^{(1)2}}{\pi^2} h_n^{(1)} \left\{ L_{nk}^{(m)} + \frac{1}{2} \sqrt{\frac{\pi}{h_n^{(1)}}} J_{nk}^{(m-1)} + \sqrt{\pi h_n^{(1)}} J_{nk}^{(m+1)} \right\}, \quad m=0, 1, 2, \dots, \quad (7,12)$$

где

$$L_n^{(m)} = r_n^{m-1} L_n^{(1)} + \frac{m-1}{4h_n^{(1)}} L_n^{(m-2)}, \quad (7,13)$$

$$L_{nk}^{(m)} = r_{nk}^{m-1} L_{nk}^{(1)} + \frac{m-1}{4 \frac{(1)}{n}} L_{nk}^{(m-2)}, \quad (7,14)$$

$$J_n^{(m)} = r_n^{m-1} P_n^{(0)} + \frac{m-1}{2h_n^{(1)}} J_n^{(m-2)} + \frac{1}{\sqrt{\pi h_n^{(1)}}} L_n^{(m-1)}, \quad (7,15)$$

$$J_{nk}^{(m)} = r_{nk}^{m-1} P_{nk}^{(0)} + \frac{m-1}{2h_n^{(1)}} J_{nk}^{(m-2)} + \frac{1}{\sqrt{\pi h_n^{(1)}}} L_{nk}^{(m-1)}. \quad (7,16)$$

(7,13)–(7,16) выражаются последовательно через

$$\begin{aligned} L_n^{(0)} &= \frac{1}{2} \sqrt{\frac{\pi}{h_n^{(1)}}} \left[1 - \operatorname{erf} \left(r_n \sqrt{2h_n^{(1)}} \right) \right], \\ L_{nk}^{(0)} &= \frac{1}{2} \sqrt{\frac{\pi}{h_n^{(1)}}} \left[1 - \operatorname{erf} \left(r_{nk} \sqrt{2h_n^{(1)}} \right) \right], \\ L_n^{(1)} &= \frac{1}{4h_n^{(1)}} e^{-2h_n^{(1)} r_n^2}, \quad L_{nk}^{(1)} = \frac{1}{4h_n^{(1)}} e^{-2h_n^{(1)} r_{nk}^2}, \\ J_n^{(0)} &= \frac{1}{4} \sqrt{\frac{\pi}{h_n^{(1)}}} \left\{ 1 - \left[\operatorname{erf} \left(r_n \sqrt{h_n^{(1)}} \right) \right]^2 \right\}, \\ J_{nk}^{(0)} &= \frac{1}{4} \sqrt{\frac{\pi}{h_n^{(1)}}} \left\{ 1 - \left[\operatorname{erf} \left(r_{nk} \sqrt{h_n^{(1)}} \right) \right]^2 \right\}, \\ P_n^{(0)} &= \frac{1}{2h_n^{(1)}} e^{-h_n^{(1)} r_n^2} \operatorname{erf} \left(r_n \sqrt{h_n^{(1)}} \right), \\ P_{nk}^{(0)} &= \frac{1}{2h_n^{(1)}} e^{-h_n^{(1)} r_{nk}^2} \operatorname{erf} \left(r_{nk} \sqrt{h_n^{(1)}} \right), \end{aligned} \quad (7,17)$$

где $h_n^{(1)}$ вычисляются по (4,13). Как следует из (7,8)–(7,12) $B_n^{(m)}$ и E_n являются просто числами, в то время как $D_{nk}^{(m)}$, $G_{nk}^{(m)}$ и $C_{nk}^{(m)}$ зависят от параметра λ . Оставшиеся интегралы по r (7,8)–(7,10) надо взять численно.

§ 8. Расчет примеров и результаты

На рис. 8 нанесены графики безразмерных величин (отнесенных к величинам в невозмущенном потоке) частоты ударов N^* молекул о пластинку, касательного импульса p_x^* и энергии E^* , передаваемых молекулами пластинке, в зависимости от λ , где

$$\lambda = \frac{x}{y_0}, \quad 0 < y_0 < h^{-\frac{1}{2}}, \quad h = \frac{5}{6} M^2,$$

$$N^* = h^* N^{(2)}, \quad p_x^* = \frac{1}{2} p_x^{(2)} h^*, \quad E^* = h^* E^{(2)}, \quad h^* = 2 \sqrt{\pi h},$$

причем $N^{(2)}$, $p_x^{(2)}$ и $E^{(2)}$ определяются по (6,9)–(6,11). Расчет N^* , p_x^* и E^* проводился по формулам (6,9)–(6,11) при разных значениях λ ,

причем входящие в эти формулы простые интегралы (7,8)–(7,10) вычислялись численно по методу Гаусса [7]. В результате этих расчетов, достаточно громоздких, были получены вышеуказанные кривые.

Из этих графиков видно, что N^* , p_x^* , E^* при $0 \leq \lambda < 1$ сначала почти постоянны, а потом убывают. При $\lambda = 1$ достигается минимум этих величин. В промежутке $1 \leq \lambda \leq 5$ эти функции резко возрастают, а потом дальше вниз по потоку их значения выравниваются.

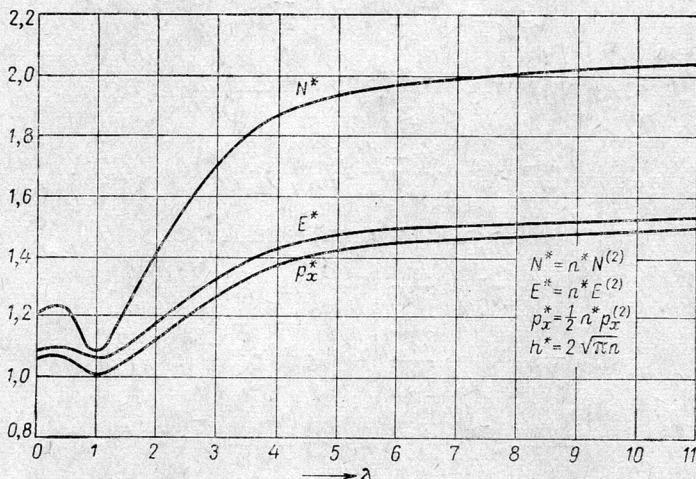


Рис. 8.

Наличие минимума функций N^* , p_x^* , E^* в окрестности точки $\lambda = 1$ (т. е. при $x \approx y_0$) может быть обусловлено тем, что мы рассматривали только однократные столкновения и, так как M велико, набегающий поток в окрестности точки $x = 0$ отбрасывает только что образовавшийся поток отраженных частиц чуть дальше вниз по потоку (где сразу наблюдается резкое возрастание рассматриваемых величин). Их постоянство у самой кромки пластиинки может быть обусловлено тем, что там просто еще не существует отраженный поток и вклад в значения функций N^* , p_x^* , E^* получается только от набегающих частиц.

Короче говоря, за появление минимума функций N^* , p_x^* , E^* в окрестности точки $\lambda = 1$ отвечает эффект загораживания набегающих молекул потоком отраженных частиц. Можно ожидать, что при рассмотрении двух-, трехкратных и т. д. столкновений этот эффект ослабляется, так как в этом случае меньше молекул падает на пластиинку, следовательно, меньше отражается и меньше загораживается. Таким образом, можно предполагать, что в дальнейших приближениях минимум функций N^* , p_x^* , E^* при $\lambda = 1$ выравнивается и значения этих функций при $0 \leq \lambda \leq 5$ возрастают от передней кромки пластиинки вниз по потоку.

Проведем качественное сравнение полученных результатов с другими работами [8]–[16]. Мы проводим именно качественное сравнение, так как в указанных работах были получены потоки импульса и энергии на полубесконечной пластиинке при различных M и температурах торможения, в то время как в данной работе эти величины были получены в зависимости от параметра λ . Надо отметить, что во всех этих работах исследуется взаимодействие ударной волны с по-

граничным слоем. У нас ударная волна не образуется, так как пластиинка бесконечно тонка. В теоретических работах авторы пользовались либо обычными уравнениями для пограничного слоя [8], [9], [13], либо строили полуэмпирическую теорию [15], основываясь на экспериментальных фактах [14], [16]. При таком подходе было затруднительно исследовать поведение потоков массы, импульса и энергии в окрестности передней кромки пластиинки, так как там возникает область течения со скольжением или зона единичных столкновений. Здесь исследования должны проводиться уже с кинетической точки зрения. Таким образом, в указанных работах были получены кривые для отношения давления на поверхности к давлению в невозмущенном потоке [12], [13] и для коэффициента теплообмена [14]—[16] в зависимости от x , начиная с некоторого расстояния x_0 от носка пластиинки при различных M и температурах торможения. В точке $x = x_0$ эти функции имеют максимальное значение, потом дальше вниз по потоку эти величины убывают. Например, в экспериментальной работе [12] первое отверстие для отбора давления расположено на расстоянии $x = 4,9 \text{ mm}$ от передней кромки.

Существуют разные предположения о поведении потоков импульса и энергии в области $0 \leq x \leq x_0$, [12], [14]—[16]. Так, в [12] показано, что по данным теплеровских фотографий отношение давлений на передней кромке, вычисленное по углу наклона ударной волны, значительно ниже отношения давлений в точке x_0 , расположенной несколько дальше по потоку за передней кромкой. То же самое получается для коэффициента теплообмена [14]. Отсюда делается вывод, что, начиная от передней кромки, отношение давлений на пластиинке увеличивается до некоторого максимального значения в точке, лежащей несколько дальше вниз по потоку, а потом убывает. В [15], [16] на основе полученного там соотношения для местных чисел Стантона делается вывод, что в зависимости от M набегающего потока значения тепловых потоков в зоне единичных столкновений могут или убывать (при малых M), или возрастать (при больших M) при удалении от передней кромки. Вид кривых этих величин в зависимости от x при $0 \leq x \leq x_0$ этими исследователями не был найден.

Имеет место хорошее качественное совпадение полученных в данной работе кривых (кроме области $0 \leq \lambda \leq 1$) с результатами работы М. Н. Когана и А. М. Дегтярева [17]. В этой работе получены кривые для потоков импульса и энергии на бесконечной тонкой пластиинке бесконечного размаха длиной L при больших M . Расчет проводился численно по методу Монте-Карло на основе уравнения Больцмана в рамках однократных столкновений при различных M и K_p . Из этих кривых видно, что потоки импульса и энергии возрастают вдоль пластиинки от передней кромки, причем это возрастание очень резко при малых x , а потом дальше вниз по потоку значения этих величин выравниваются.

Summary

The gas macroparameter fluxes near the leading edge of a plate are investigated as the second iteration of the integral kinetic operator of a monoatomic rarefied gas for large M .

ЛИТЕРАТУРА

1. «Аэродинамика разреженных газов». Сб. 1, под ред. С. В. Валландера. Изд. ЛГУ, 1963.
2. Р. Г. Баранцев, Ю. Шлажа. К асимптотической структуре пограничного слоя при больших M . Вестник ЛГУ, № 19, 1964.

3. Ю. Шлажа. Метод моментов при гиперзвуковом обтекании тел разреженным газом. Вестник ЛГУ, № 13, 1966.
4. a) Rarefied gas dynamics. Proc. of the 1 Intern. Symp. held at Nice. New York, Pergamon Press, 1960; b) Rarefied gas dynamics. Proc. of the 2 Intern. Symp. held at the Univ. of California, 1960. New York, Acad. Press, 1961; c) Rarefied gas dynamics. Proc. of the 13 Intern. Symp. held at the Paris, 1962, vol. I, II. New York, Acad. Press, 1963.
5. J. S z l a ž a. Hyperschallumströmung einer unendlichen Platte durch verdünntes Gas. Monatsberichte der Deutschen Akademie der Wissenschaften zu Berlin, 1966 (im Druck).
6. Н. Г. де Брён. Асимптотические методы в анализе. М., ИЛ, 1961.
7. П. В. Мелентьев. Приближенные вычисления. М., Физматгиз, 1962.
8. В. С. Галкин. Исследование обтекания плоской пластины гиперзвуковым потоком вязкого слаборазреженного газа. Изв. АН СССР, ОТН, № 3, 1961.
9. В. П. Мясников. Ламинарный пограничный слой на пластине в сверхзвуковом потоке слаборазреженного газа. Изв. АН СССР, ОТН, № 5, 1959.
10. Г. Нагамацу. Высокотемпературное разреженное гиперзвуковое течение около плоской пластины. ARS J., 31, № 7, 1961.
11. Nagamatsu, Li. On hypersonic flow near the leading edge of a flat plate. Phys. Fluids, 3, No 1, 1960.
12. Г. Нагамацу, Р. Шир. Взаимодействие ударной волны с пограничным слоем и скольжение у передней кромки плоской пластины в гиперзвуковом потоке. В сб.: «Некоторые задачи современной аэродинамики». М., ИЛ, 1961.
13. А. Г. Хэммит. Влияние вязкости на гиперзвуковое обтекание плоской пластины с конечной передней кромкой. Механика, № 5, 1959.
14. Г. Нагамацу, Вейл, Р. Шир. Теплообмен на плоской пластине в потоке разреженного газа при очень больших числах Маха и высоких температурах. Ракетная техника, № 4, 1962.
15. Ю. А. Кошмаров. Полуэмпирическая теория теплообмена тонкой пластины, обтекаемой разреженным газом, при больших числах Маха. Тепло- и массоперенос, т. II. Минск, 1965.
16. Ю. А. Кошмаров, Н. М. Горская. Теплообмен пластины в сверхзвуковом потоке разреженного газа. Тепло- и массоперенос, т. II. Минск, 1965.
17. М. Н. Коган. Динамика разреженных газов. Труды II Всесоюзного съезда по механике. Обзорные доклады. Вып. 2, 263—279, 1965.

Статья поступила в редакцию 21 ноября 1966 г.